

## IV-11 ボギー車が曲線軌道に加へる横圧力の計算について

東京都立大学工学部 正員 宏瀬盛行

本文は Heumann 氏及び W. Dauner と E. Hiller の両氏による研究に基き、これをボギー車に応用して、曲線軌道が受ける横圧力を近似値計算を試みたものである。最初に静力的に扱った場合について述べ、次に動力的な要素を考慮した場合について述べる。

### I 静力的に扱った場合

Heumann の因式解法を採用したものであるが、計算上の仮定、並びに対象とした車両は次の如くである。

- ボギー車を前台車と后台車に分け、各台車を 2 軸車として扱う。
- 車両に作用する外力( $P$ )は遠心力とカントによる水平分力のみを考へ。 $P = w \left( \frac{v^2}{GR} - \frac{C}{G} \right)$  が台車の重心を通る垂直軸上の車両重心の高さに作用するものとする。
- 車両は慣性状態で曲線を走り、摩擦中心点は台車の長軸上に位置する。
- 車輪とレールの踏面に作用する摩擦力は速度及び曲線半径によって変化しないものとし、摩擦係数  $\mu = 0.27$  を採用する。
- 計算に使用した車両： はつかり（キハ81）、固定軸距  $l = 2100\text{mm}$ 、軸重  $G = 12t$ 、基礎輪重  $w = 6t$ 、重心の高さ  $H = 1270\text{mm}$ 、車輪半径  $R = 430\text{mm}$

### 1. 摩擦モーメント図( $m_c$ 曲線)

$m_c$  曲線の作図は第1図に示すように、原点と車両の中央に置き、車両の長軸を  $X$  軸、これに直交する軸を  $y$  軸とし、任意の  $x$  に対する  $y = \sum \mu w d$  をとることにより描くことが出来る。こゝでは簡単な作図法を選び、 $X$  軸の上半分のみを考へ、任意の  $x$  に対して  $y = d_1 + d_2$  をとることによって描いた。従って  $y$  軸は  $\frac{1}{2} \cdot \frac{1}{\mu w}$  の縮尺になつている。

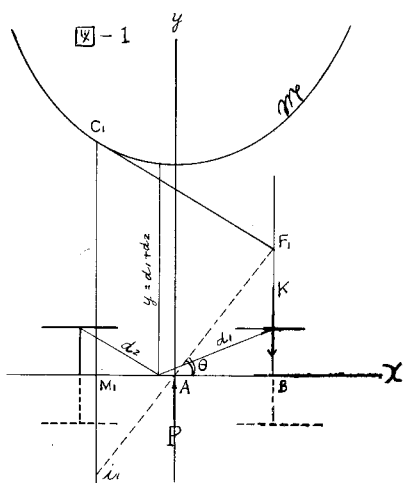
### 2. 摩擦中心点の位置

外力が車両の重心に作用し、外側先頭車輪のみがレールとフランジ接觸をしている状態、所謂自由曲走をしている場合を考へると摩擦中心点の位置は第1図に示すように、先ず  $P$  を縮尺であらわす右端に  $\frac{P}{2\mu w} = P'$  とし、 $P'$  が外方向に作用するとすれば、図の実線の如く力率線が出来る。この場合の角  $\theta$  は  $\tan \theta = P' / AB$  に等しいこととなる。即ち此の線と輪縁力  $K$  の作用線との交点を  $F_1$  とすれば  $P' = BF_1 / AB$ 、従って  $BF_1 = P' \times AB = \frac{P}{2\mu w} \times AB$  となる。

$F_1$  から  $m_c$  曲線に接線を引き、その接点を  $C_1$  とし、 $C_1$  から  $X$  軸上に垂線を下して、その交点を  $M_1$  とすると  $M_1$  が摩擦中心点の位置であり、 $X_1 = M_1 B$  によってあらわす。

### 3. 輪縁力 $K$

第1図に於て  $C_1 M_1$  の延長線と  $P'$  の力率線との交点を



$$i_1 \text{ とすると } K = \frac{i_1 C_1}{\chi_1} \times 2\mu w \text{ にて求めることが出来る。}$$

#### 4. 横圧力 Y

$K$  が求まれば  $Y$  は次式によって求めることが出来る。

$$Y = K - \mu w \cos \varphi \quad \dots \dots (1)$$

上式に於ける  $\mu w \cos \varphi$  は車輪とレールの踏面に作用する摩擦力の  $K$  方向の分力であり、  $w$  は指導車輪の輪重である。この値は車内の重心に作用する外力によって生ずる附加荷重  $\Delta w_1$  と台車枠を通じて指導車軸に作用する  $S$  によって生ずる附加荷重と基礎輪重を加えることによって近似的に求めることが出来る。

$$w = \frac{Q}{2} + \Delta w_1 + \Delta w_2$$

$$w = \frac{Q}{2} + W \left( \frac{v^2}{gR} - \frac{C}{G} \right) \cdot \frac{L}{nG} + (K - \mu Q \cos \varphi) \cdot \frac{H}{G} \quad \dots \dots (2)$$

$Q$ : 車重 t

$W$ : 車両重量 t

$R$ : 曲線半径 m

$C$ : カニト mm

$G$ : 車輪の左右踏面間距離 mm

$h$ : 重心の高さ mm

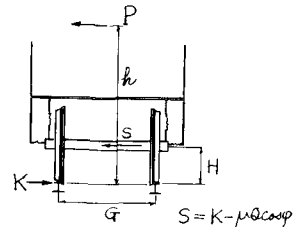
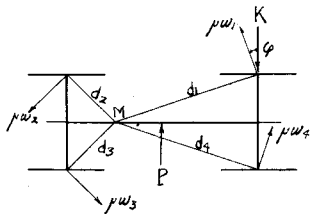
$H$ : 車輪半径 mm

$n$ : 台車の車軸数

$\mu$ : 摩擦係数

$\varphi$ : 摩擦力の作用線と  $K$  の作用線とのなす角

図-2

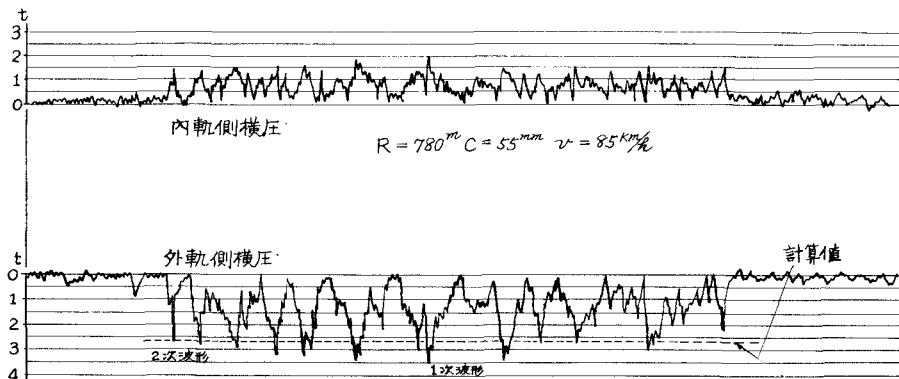


併し、此の計算では台車のバネ及び懸架装置による車体の横方向の自由度は考慮に入れていない。以上は自由曲走の場合についてであるが、連続曲走（即ち二以上の車輪がフランジ接觸をして曲線を走る場合）についても同じ方法で計算出来る。

第5図の実線で示す横圧 Y、輪重 w 及び脱線係数 ( $\frac{Y}{w}$ ) は以上の方法によって上記車両が  $R = 600m$ ,  $C = 44mm$  の曲線を各種速度で走る場合について計算したものであり、第3図は其の一例として国鉄試験車（はつかり）によって測定された横圧波形と計算値との関係を示したものであるが、このようにして測定値と計算値とを比較して見ると、例外はあるが一般的な傾向として次のような点を指摘し得る。

即ち、計算値は測定値の2次波形として出てくる値よりは稍小さく、1次波形（最大値）の約90%～70%の値を示しており、曲線半径が小さくなるに従い又、速度が大になる

図-3



に従って、その開きが大きくなる傾向が見られる。

この差異の主なる原因は以上の計算ではボギー車を2軸車として扱い、車両が慣性状態で曲線走行を想定しているためである。実測値により近い値を得るために、更に曲線半径、速度及び振動等の要素を考えることが必要となって来る。

## Ⅱ 動力的な要素を考慮した場合

実際に車両が曲線上を走っている場合は、第3図の横圧波形から分かるように先頭車輪は一種の蛇行動を行っている

図-4

左図は、説明の便宜上

外側先頭車輪の走行状態を

略図によつて示したものである

あるが、今車輪がA点から

B点に至る場合を考えると、

車輪はレールに這上りながら

進んで行き、この状態は輪縁力Kが台車の旋回に対する摩擦力( $\Sigma \mu w d$ )に打勝つ（慣性状態として扱った場合にはこの状態が持続される）が、実際は車体から台車に伝わる力及びレールからの水平方向の反力によって車輪はすべり落ちA'点に来る。そして再び直進して走入角 $\alpha$ を有しB'点に至る。このような状態を繰返しながら曲線上を走っていると考えると、B, B'点に於ては一種の曲線走入現象として扱うことが出来ると言える。

此のことは動力的な要素として曲線半径(走入角)、速度、振動等を考慮に入れなければならぬと云う結論に合致するものである。

従来、曲線走入現象を扱った主な研究としては Heumann 氏又は W. Dauner, E. Hiller 氏によって行われたものがあるが、こゝでは後者の説に従うこととした。この説によると横圧力を全指導圧力と呼び、静力的指導圧力と動力的指導圧力を加えることによって求めている。

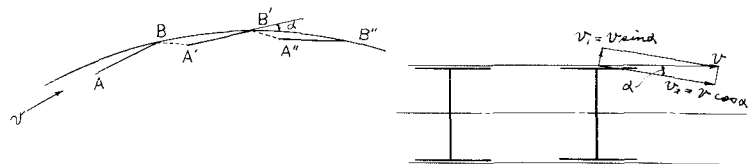
$$Y = P_r + P_m \quad \dots \quad (3)$$

$$P_r = K - \mu w \cos \alpha$$

$$P_m = v \sin \alpha \sqrt{\frac{M_{red}}{C}}$$

$$w = \frac{Q}{Z} + W \left( \frac{v^2}{gR} - \frac{C}{G} \right) \cdot \frac{h}{nG} + (K - \mu Q \cos \alpha) \frac{H}{G} + P_m \cdot \frac{H}{G} \quad \dots \quad (4)$$

上式に於て輪縁力Kは上記 Heumann の因式解法によつて容易に求め得る値であり、 $\sqrt{\frac{M_{red}}{C}}$ 以外は凡て既知の数である。従つて、 $\sqrt{\frac{M_{red}}{C}}$ を決定すれば横圧力は概算出来る。この値は車両の構造と軌道の状態によつて決まる係数であり、 $M_{red}$ は車内の換算質量で、 $\frac{1}{C}$ はレールと車輪の弾性変形を単純バネと考えた場合のバネ常数である。然し、この値を決定することは容易でないの、こゝでは幾つかの横圧力測定値を使用し、上式より逆算して $\sqrt{\frac{M_{red}}{C}}$ を決定する方法を試みた。第5図に於ける実線は $\sqrt{\frac{M_{red}}{C}}$ を4.0と決め、横圧力を算定し



である。

図-5

第6回は  $R = 410m$ ,  $C = 75mm$   
 $R = 780m$ ,  $C = 55mm$ , 及び  $R = 1190m$   
 $C = 55mm$  の3種の曲線について  
横圧力を算出し、実測値(最大値)  
との関係をあらわしたものである。

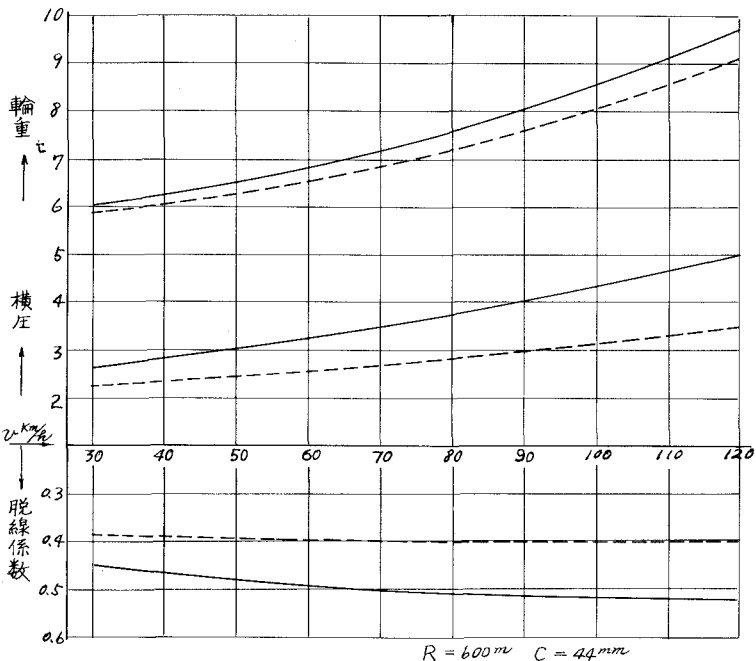


図-6

輪重と脱線係数には可成の

差異が見られる。これは実験値の判讀が  
もづかしい点、又車両の上下振動を無視  
していること及び輪重の最大値は必ずし  
も最大横圧が生じている時の値を示して  
いない等の爲ではないかと考えられる。

以上、ボギー車を対象として、横圧  
力算定の方法について述べて来たが、こ  
の結果は特定車両について云ひ得ること  
であり、これが全ての車両に適用出来る  
とは考えられない。例えば  $\sqrt{\frac{M_{red}}{C}}$  は各車両横  
によつて異なる値である。更に、正確な計  
算方法を見出す爲には変化する摩擦力の  
影響、車両の上下振動等を考慮に入れ  
なければならない。

然しこの方法によれば、速度、曲線  
半径、カント、可動余裕、固定軸距、重  
心の高さ等が車両の安定度に及ぼす影響  
を検討したり、又実測値の判讀の一助と  
なるのではないかと考える。

